

Empaquetamientos de Apolonio, politopos y teorema de Descartes

J. L. Ramírez Alfonsín

Université de Montpellier

Trabajo en colaboración con I. Rasskin

Universidad de La Laguna, Tenerife

16 septiembre 2021

Apolonio de Perga



262 a.C. - 190 a.C. (72 años)

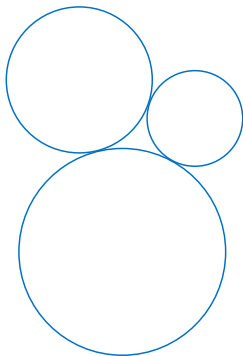
- Conocido como “El gran geometra”
- Su libro famoso *Conics* introduce los terminos de hyperbola y elipse.

Teorema de Apolonio

Teorema (Apolonio de Perga) Dados 3 círculos mutuamente tangentes existen exactamente dos círculos tangentes a los tres.

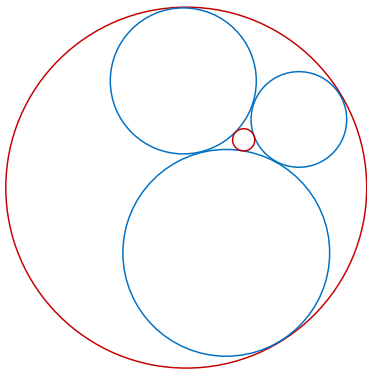
Teorema de Apolonio

Teorema (Apolonio de Perga) Dados 3 círculos mutuamente tangentes existen exactamente dos círculos tangentes a los tres.



Teorema de Apolonio

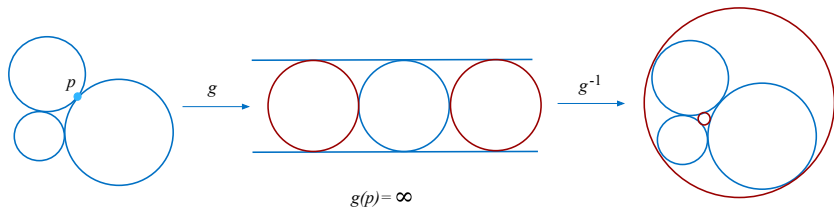
Teorema (Apolonio de Perga) Dados 3 círculos mutuamente tangentes existen exactamente dos círculos tangentes a los tres.



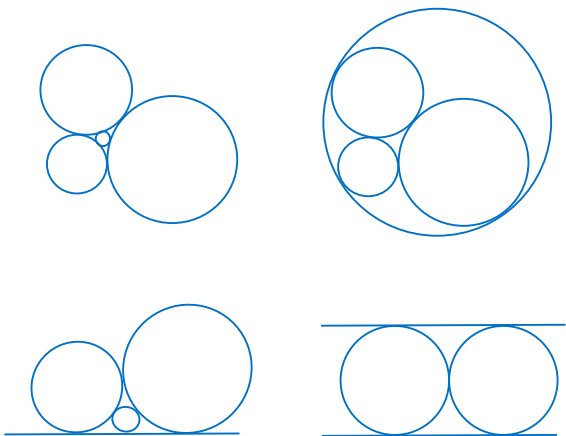
Teorema de Apolonio

Teorema (Apolonio de Perga) Dados 3 círculos mutuamente tangentes existen exactamente dos círculos tangentes a los tres.

Prueba (idea) :



Posibles representaciones de 4 círculos mutuamente tangentes



Empaquetamientos de Apolonio : construcción

- Tomemos 4 círculos mutuamente tangentes

Empaquetamientos de Apolonio : construcción

- Tomemos 4 círculos mutuamente tangentes
- Agreguemos nuevos círculos tangentes a 3 de los cuatro círculos (previsto por Teorema de Apolonio)

Empaquetamientos de Apolonio : construcción

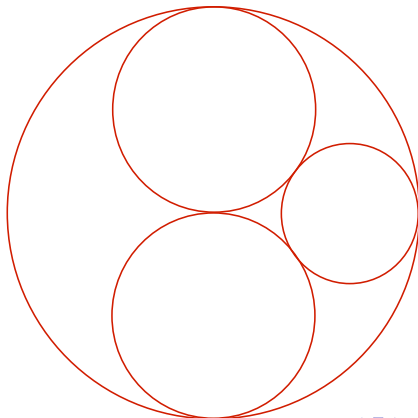
- Tomemos 4 círculos mutuamente tangentes
- Agreguemos nuevos círculos tangentes a 3 de los cuatro círculos (previsto por Teorema de Apolonio)
- Agreguemos otros nuevos círculos a la nueva configuración

Empaquetamientos de Apolonio : construcción

- Tomemos 4 círculos mutuamente tangentes
- Agreguemos nuevos círculos tangentes a 3 de los cuatro círculos (previsto por Teorema de Apolonio)
- Agreguemos otros nuevos círculos a la nueva configuración
- Continuemos el procedimiento indefinidamente

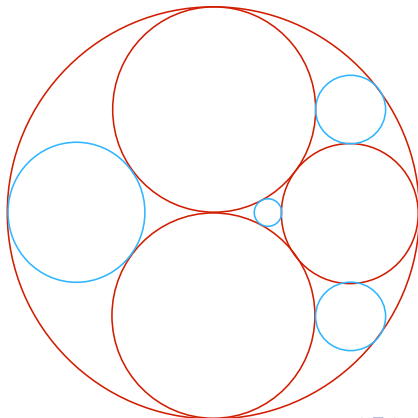
Empaquetamientos de Apolonio : construcción

- Tomemos **4 círculos mutuamente tangentes**
- Agreguemos nuevos círculos tangentes a 3 de los cuatro círculos (previsto por Teorema de Apolonio)
- Agreguemos otros nuevos círculos a la nueva configuración
- Continuemos el procedimiento indefinidamente



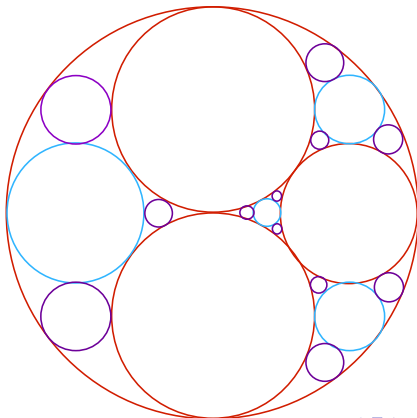
Empaquetamientos de Apolonio : construcción

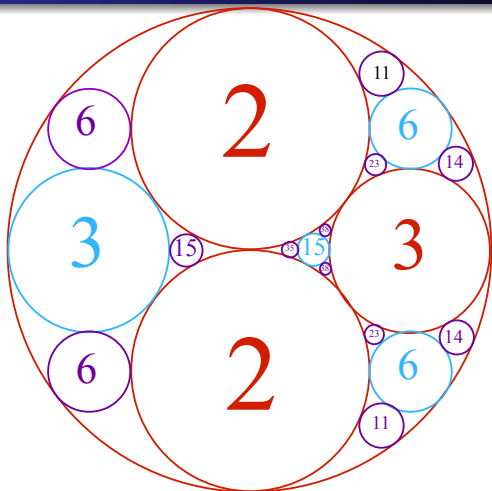
- Tomemos **4 círculos mutuamente tangentes**
- Agreguemos nuevos círculos tangentes a 3 de los cuatro círculos (previsto por Teorema de Apolonio)
- Agreguemos nuevos círculos a la nueva configuración
- Continuemos el procedimiento indefinidamente



Empaquetamientos de Apolonio : construcción

- Tomemos 4 círculos mutuamente tangentes
- Agreguemos nuevos círculos tangentes a 3 de los cuatro círculos (previsto por Teorema de Apolonio)
- Agreguemos nuevos círculos a la nueva configuración
- Continuemos el procedimiento indefinidamente





Cada círculo etiquetado con su **curvatura** : $curv(C) = \frac{1}{radio(C)}$

La curvatura del círculo exterior es -1 (orientado al exterior para que los interiores sean disjuntos).

Teorema de Descartes

Un empaquetamiento Apolonio es **integral** si todas sus curvaturas son enteras.

Teorema de Descartes

Un empaquetamiento Apolonio es **integral** si todas sus curvaturas son enteras.

Pregunta : ¿Existe algún empaquetamiento Apolonio integral?

Teorema de Descartes

Un empaquetamiento Apolonio es **integral** si todas sus curvaturas son enteras.

Pregunta : ¿Existe algun empaquetamiento Apolonio integral? **SI**

Teorema de Descartes

Un empaquetamiento Apolonio es **integral** si todas sus curvaturas son enteras.

Pregunta : ¿Existe algun empaquetamiento Apolonio integral? **SI**
Teorema (Descartes 1643) Si a, b, c, d son las curvaturas de cuatro círculos mutuamente tangentes si y solo si satisface la ecuación cuadrática $2(a^2 + b^2 + c^2 + d^2) = (a + b + c + d)^2$

Teorema de Descartes

Un empaquetamiento Apolonio es **integral** si todas sus curvaturas son enteras.

Pregunta : ¿Existe algun empaquetamiento Apolonio integral? **SI**
Teorema (Descartes 1643) Si a, b, c, d son las curvaturas de cuatro
circulos mutuamente tangentes si y solo si satisface la ecuación
cuadrática $2(a^2 + b^2 + c^2 + d^2) = (a + b + c + d)^2$

La demostración en una carta a la Princesa Elisabeth of Bohemia



"je pense, donc j'existe"



Resultados relacionados

Teorema (Soddy 1936) Si los cuatro primeros círculos de un empaquetamiento Apolonio \mathcal{P} tienen curvaturas enteras entonces \mathcal{P} es integral.

Resultados relacionados

Teorema (Soddy 1936) Si los cuatro primeros círculos de un empaquetamiento Apolonio \mathcal{P} tienen curvaturas enteras entonces \mathcal{P} es integral.

Teorema (Soddy-Gosset 1937) Las curvaturas $\kappa_1, \dots, \kappa_{d+2}$ de $d+2$ d -bolas en \mathbb{R}^d tangentes por parejas verifican
$$d(\kappa_1^2 + \dots + \kappa_{d+2}^2) = (\kappa_1 + \dots + \kappa_{d+2})^2.$$

Resultados relacionados

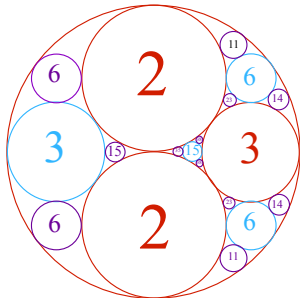
Teorema (Soddy 1936) Si los cuatro primeros círculos de un empaquetamiento Apolonio \mathcal{P} tienen curvaturas enteras entonces \mathcal{P} es integral.

Teorema (Soddy-Gosset 1937) Las curvaturas $\kappa_1, \dots, \kappa_{d+2}$ de $d+2$ d -bolas en \mathbb{R}^d tangentes por parejas verifican $d(\kappa_1^2 + \dots + \kappa_{d+2}^2) = (\kappa_1 + \dots + \kappa_{d+2})^2$.

Ejemplo

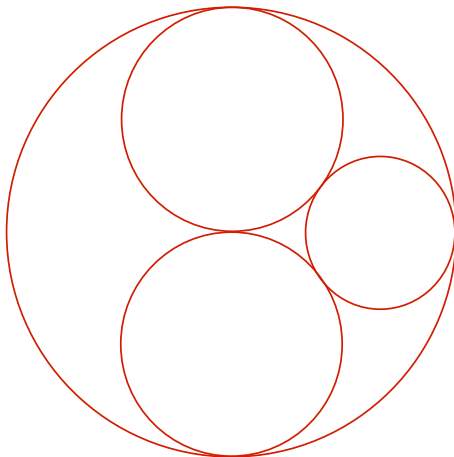
$$2((-1)^2 + 2^2 + 2^2 + 3^2) = 36 = (-1 + 2 + 2 + 3)^2$$

$$2(2^2 + 6^2 + 3^2 + 23^2) = 1156 = (2 + 6 + 3 + 23)^2$$



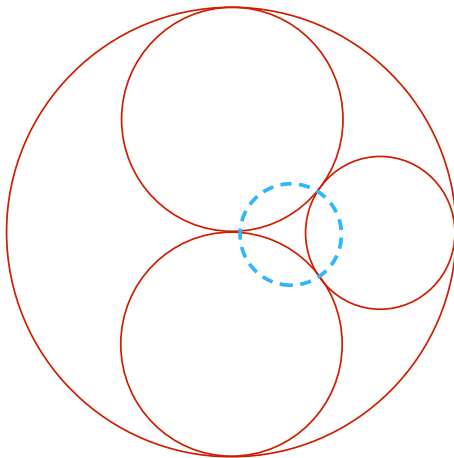
Empaquetamientos utilizando inversiones

A partir del Tetraedro



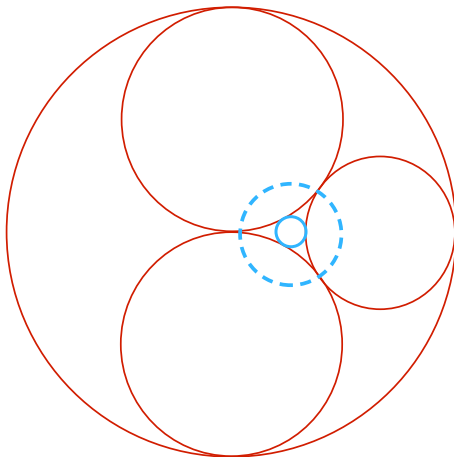
Empaquetamientos utilizando inversiones

A partir del Tetraedro



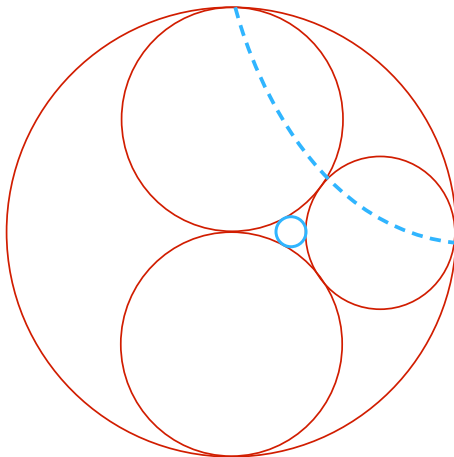
Empaquetamientos utilizando inversiones

A partir del Tetraedro



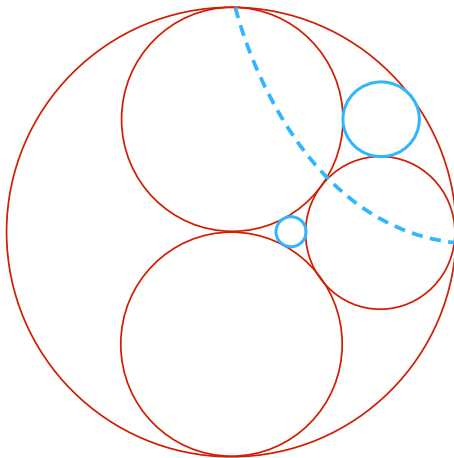
Empaquetamientos utilizando inversiones

A partir del Tetraedro

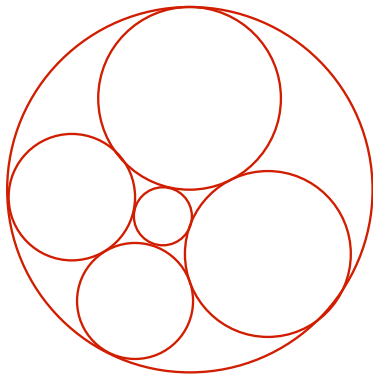


Empaquetamientos utilizando inversiones

A partir del Tetraedro

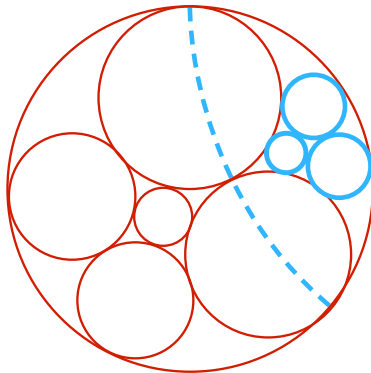


A partir del Octaedro



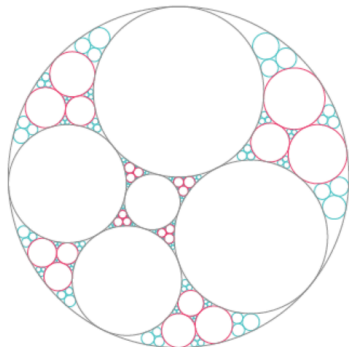
Otros empaquetamientos utilizando inversiones

A partir del Octaedro



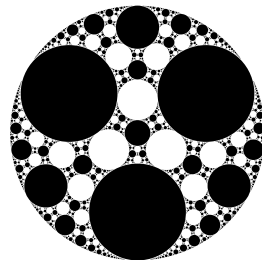
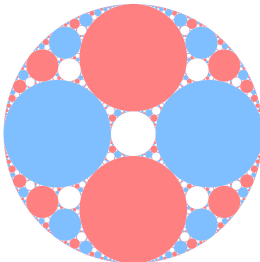
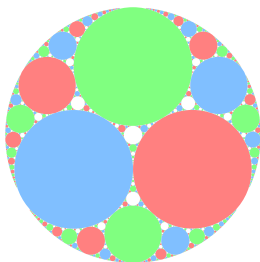
Otros empaquetamientos utilizando inversiones

A partir del Octaedro



Tres empaquetamientos

A partir del Tetraedro, Octaedro y el Cubo



Figuras realizadas con un software programado por I. Rasskin

Es natural preguntarse

Algunas preguntas

Es natural preguntarse

Pregunta 1 ¿Qué números enteros aparecen como curvaturas en un empaquetamiento?

Es natural preguntarse

Pregunta 1 ¿ Qué números enteros aparecen como curvaturas en un empaquetamiento ?

Pregunta 2 ¿ Que podemos decir sobre empaquetamientos de d -bolas en \mathbb{R}^d ?

Es natural preguntarse

Pregunta 1 ¿ Qué números enteros aparecen como curvaturas en un empaquetamiento ?

Pregunta 2 ¿ Que podemos decir sobre empaquetamientos de d -bolas en \mathbb{R}^d ?

Pregunta 3 ¿ Existen otras relaciones de tipo-Descartes ?

Un poco sobre la teoría de Lorentzianos

Sea $d \geq 1$. El *espacio Lorentziano* $\mathbb{L}^{d+1,1}$, de dimensión $d + 2$, es el espacio vectorial de dimensión $d + 2$ dotado del *producto Lorentziano*

$$\langle \mathbf{x}, \mathbf{y} \rangle = x_1 y_1 + \cdots + x_{d+1} y_{d+1} - x_{d+2} y_{d+2}, \quad \mathbf{x}, \mathbf{y} \in \mathbb{L}^{d+1,1}$$

Un poco sobre la teoría de Lorentzianos

Sea $d \geq 1$. El *espacio Lorentziano* $\mathbb{L}^{d+1,1}$, de dimensión $d + 2$, es el espacio vectorial de dimensión $d + 2$ dotado del *producto Lorentziano*

$$\langle \mathbf{x}, \mathbf{y} \rangle = x_1 y_1 + \cdots + x_{d+1} y_{d+1} - x_{d+2} y_{d+2}, \quad \mathbf{x}, \mathbf{y} \in \mathbb{L}^{d+1,1}$$

El vector $\mathbf{v} \in \mathbb{L}^{d+1,1}$ se llama *space-like* si $\langle \mathbf{v}, \mathbf{v} \rangle > 0$ y *normalizado* si $|\langle \mathbf{v}, \mathbf{v} \rangle| = 1$.

Un poco sobre la teoría de Lorentzianos

Sea $d \geq 1$. El *espacio Lorentziano* $\mathbb{L}^{d+1,1}$, de dimensión $d + 2$, es el espacio vectorial de dimensión $d + 2$ dotado del *producto Lorentziano*

$$\langle \mathbf{x}, \mathbf{y} \rangle = x_1 y_1 + \cdots + x_{d+1} y_{d+1} - x_{d+2} y_{d+2}, \quad \mathbf{x}, \mathbf{y} \in \mathbb{L}^{d+1,1}$$

El vector $\mathbf{v} \in \mathbb{L}^{d+1,1}$ se llama *space-like* si $\langle \mathbf{v}, \mathbf{v} \rangle > 0$ y *normalizado* si $|\langle \mathbf{v}, \mathbf{v} \rangle| = 1$.

- Existe una biyección entre el espacio de d -bolas $Ball(\hat{\mathbb{R}}^d)$ en $\hat{\mathbb{R}}^d := \mathbb{R}^d \cup \{\infty\}$ y el conjunto de vectores space-like normalizados de $\mathbb{L}^{d+1,1}$.

Un poco sobre la teoría de Lorentzianos

Sea $d \geq 1$. El *espacio Lorentziano* $\mathbb{L}^{d+1,1}$, de dimensión $d + 2$, es el espacio vectorial de dimensión $d + 2$ dotado del *producto Lorentziano*

$$\langle \mathbf{x}, \mathbf{y} \rangle = x_1 y_1 + \cdots + x_{d+1} y_{d+1} - x_{d+2} y_{d+2}, \quad \mathbf{x}, \mathbf{y} \in \mathbb{L}^{d+1,1}$$

El vector $\mathbf{v} \in \mathbb{L}^{d+1,1}$ se llama *space-like* si $\langle \mathbf{v}, \mathbf{v} \rangle > 0$ y *normalizado* si $|\langle \mathbf{v}, \mathbf{v} \rangle| = 1$.

- Existe una biyección entre el espacio de d -bolas $Ball(\hat{\mathbb{R}}^d)$ en $\hat{\mathbb{R}}^d := \mathbb{R}^d \cup \{\infty\}$ y el conjunto de vectores space-like normalizados de $\mathbb{L}^{d+1,1}$.
- El *grupo de Möbius* $\text{Möb}(\hat{\mathbb{R}}^d)$ es el grupo generado por las inversiones de d -bolas.

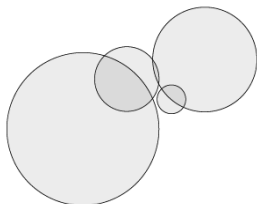
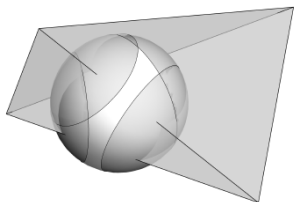
Arreglo de bolas

Sea P un $(d + 1)$ -politopo *esfera-exterior* (vértices afuera de la esfera)

Arreglo de bolas

Sea P un $(d + 1)$ -politopo *esfera-exterior* (vértices afuera de la esfera)

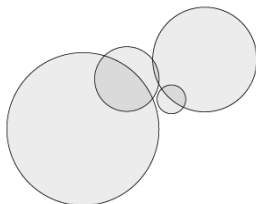
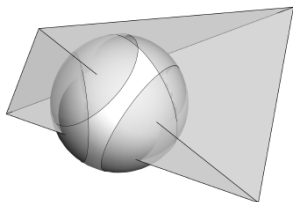
El *arreglo de bolas proyectado* de P , $B(P)$, es la colección de d -bolas cuyas *fuentes de luz* son los vértices de P .



Arreglo de bolas

Sea P un $(d + 1)$ -politopo *esfera-exterior* (vértices afuera de la esfera)

El *arreglo de bolas proyectado* de P , $B(P)$, es la colección de d -bolas cuyas *fuentes de luz* son los vértices de P .



Si P es un $(d + 1)$ -politopo *arista-inscribible* (i.e., todas las aristas de P son tangentes a \mathbb{S}^d) entonces $B(P)$ es un *empaquetamiento de d -bolas* B_P .

Empaquetamientos polytopales

Un empaquetamiento de d -bolas B_P est *politopal* si existe $\mu \in \text{Möb}(\hat{\mathbb{R}}^d)$ tal que $\mu(B_p) = B(P)$.

Empaquetamientos polytopales

Un empaquetamiento de d -bolas B_P es *politopal* si existe $\mu \in \text{Möb}(\hat{\mathbb{R}}^d)$ tal que $\mu(B_p) = B(P)$.

Observaciones

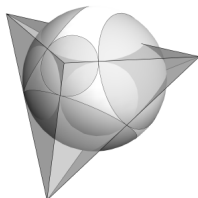
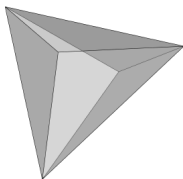
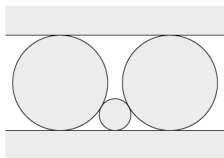
- el grafo de tangencia de B_P y el esqueleto de P son isomorfos.
- No todos los empaquetamientos de d -bolas son politopales

Empaquetamientos polytopales

Un empaquetamiento de d -bolas B_P est *politopal* si existe $\mu \in \text{Möb}(\hat{\mathbb{R}}^d)$ tal que $\mu(B_P) = B(P)$.

Observaciones

- el grafo de tangencia de B_P y el esqueleto de P son isomorfos.
- No todos los empaquetamientos de d -bolas son politopales


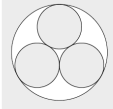
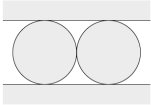
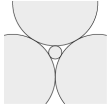
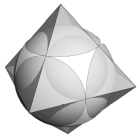
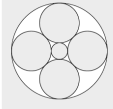
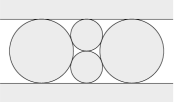
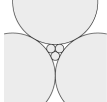


Proyecciones de empaquetamientos centrados

Realización arista-inscribible de un $(d + 1)$ -politopo regular.
La proyección *centrada* es la colección de proyecciones de las bolas con una k -cara cuyo baricentro esta en el rayo generado a partir del polo Norte.

Proyecciones de empaquetamientos centrados

Realización arista-inscribible de un $(d + 1)$ -politopo regular.
 La proyección *centrada* es la colección de proyecciones de las bolas con una k -cara cuyo baricentro esta en el rayo generado a partir del polo Norte.

Edge-scribed realization	Vertex centered at ∞	Edge centered at ∞	Face centered at ∞																						
 <p>$\ell_{\{3,3\}} = \sqrt{2}$</p>	 <table border="1"> <thead> <tr> <th>n</th> <th>κ</th> </tr> </thead> <tbody> <tr> <td>1</td> <td>$\frac{1}{\sqrt{2}}(1 - \sqrt{3})$</td> </tr> <tr> <td>3</td> <td>$\frac{1}{\sqrt{2}}(1 + \sqrt{1/3})$</td> </tr> </tbody> </table>	n	κ	1	$\frac{1}{\sqrt{2}}(1 - \sqrt{3})$	3	$\frac{1}{\sqrt{2}}(1 + \sqrt{1/3})$	 <table border="1"> <thead> <tr> <th>n</th> <th>κ</th> </tr> </thead> <tbody> <tr> <td>2</td> <td>0</td> </tr> <tr> <td>2</td> <td>$\sqrt{2}$</td> </tr> </tbody> </table>	n	κ	2	0	2	$\sqrt{2}$	 <table border="1"> <thead> <tr> <th>n</th> <th>κ</th> </tr> </thead> <tbody> <tr> <td>3</td> <td>$\frac{1}{\sqrt{2}}(1 - \sqrt{1/3})$</td> </tr> <tr> <td>1</td> <td>$\frac{1}{\sqrt{2}}(1 + \sqrt{3})$</td> </tr> </tbody> </table>	n	κ	3	$\frac{1}{\sqrt{2}}(1 - \sqrt{1/3})$	1	$\frac{1}{\sqrt{2}}(1 + \sqrt{3})$				
n	κ																								
1	$\frac{1}{\sqrt{2}}(1 - \sqrt{3})$																								
3	$\frac{1}{\sqrt{2}}(1 + \sqrt{1/3})$																								
n	κ																								
2	0																								
2	$\sqrt{2}$																								
n	κ																								
3	$\frac{1}{\sqrt{2}}(1 - \sqrt{1/3})$																								
1	$\frac{1}{\sqrt{2}}(1 + \sqrt{3})$																								
 <p>$\ell_{\{3,4\}} = 1$</p>	 <table border="1"> <thead> <tr> <th>n</th> <th>κ</th> </tr> </thead> <tbody> <tr> <td>1</td> <td>$1 - \sqrt{2}$</td> </tr> <tr> <td>4</td> <td>1</td> </tr> <tr> <td>1</td> <td>$1 + \sqrt{2}$</td> </tr> </tbody> </table>	n	κ	1	$1 - \sqrt{2}$	4	1	1	$1 + \sqrt{2}$	 <table border="1"> <thead> <tr> <th>n</th> <th>κ</th> </tr> </thead> <tbody> <tr> <td>2</td> <td>0</td> </tr> <tr> <td>2</td> <td>1</td> </tr> <tr> <td>2</td> <td>2</td> </tr> </tbody> </table>	n	κ	2	0	2	1	2	2	 <table border="1"> <thead> <tr> <th>n</th> <th>κ</th> </tr> </thead> <tbody> <tr> <td>3</td> <td>$1 - \sqrt{2/3}$</td> </tr> <tr> <td>3</td> <td>$1 + \sqrt{2/3}$</td> </tr> </tbody> </table>	n	κ	3	$1 - \sqrt{2/3}$	3	$1 + \sqrt{2/3}$
n	κ																								
1	$1 - \sqrt{2}$																								
4	1																								
1	$1 + \sqrt{2}$																								
n	κ																								
2	0																								
2	1																								
2	2																								
n	κ																								
3	$1 - \sqrt{2/3}$																								
3	$1 + \sqrt{2/3}$																								

Proyecciones de empaquetamientos centrados



$$\ell_{\{4,3\}} = \frac{1}{\sqrt{2}}$$



n	κ
1	$\sqrt{2} - \sqrt{3}$
3	$\sqrt{2} - \sqrt{1/3}$
3	$\sqrt{2} + \sqrt{1/3}$
1	$\sqrt{2} + \sqrt{3}$



n	κ
2	0
4	$\sqrt{2}$
2	$2\sqrt{2}$



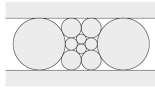
n	κ
4	$\sqrt{2} - 1$
4	$\sqrt{2} + 1$



$$\ell_{\{3,5\}} = \frac{1}{\varphi}$$



n	κ
1	$\varphi - \sqrt{\varphi + 2}$
5	$\varphi - \sqrt{\frac{\varphi + 2}{5}}$
5	$\varphi + \sqrt{\frac{\varphi + 2}{5}}$
1	$\varphi + \sqrt{\varphi + 2}$



n	κ
2	0
2	$\varphi - 1$
4	φ
2	$\varphi + 1$
2	2φ



n	κ
3	$\varphi - \varphi^2 \sqrt{1/3}$
3	$\varphi - \varphi^{-1} \sqrt{1/3}$
3	$\varphi + \varphi^{-1} \sqrt{1/3}$
3	$\varphi + \varphi^2 \sqrt{1/3}$



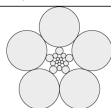
$$\ell_{\{5,3\}} = \frac{1}{\varphi^2}$$



n	κ
1	$\varphi^2 - \varphi\sqrt{3}$
3	$\varphi^2 - \varphi\sqrt{5/3}$
6	$\varphi^2 - \varphi\sqrt{1/3}$
6	$\varphi^2 + \varphi\sqrt{1/3}$
3	$\varphi^2 + \varphi\sqrt{5/3}$
1	$\varphi^2 + \varphi\sqrt{3}$



n	κ
2	0
4	$\varphi^2 - \varphi$
2	$\varphi^2 - 1$
4	φ^2
2	$\varphi^2 + 1$
4	$\varphi^2 + \varphi$
2	$2\varphi^2$



n	κ
5	$\varphi^2 - \sqrt{\frac{1}{5}(7 + 11\varphi)}$
5	$\varphi^2 - \sqrt{\frac{1}{5}(3 - \varphi)}$
5	$\varphi^2 + \sqrt{\frac{1}{5}(3 - \varphi)}$
5	$\varphi^2 + \sqrt{\frac{1}{5}(7 + 11\varphi)}$

- P un $(d + 1)$ -politopo arista-inscribible.

- P un $(d + 1)$ -politopo arista-inscribible.
- P_0 una realización de P conteniendo el origen.

- P un $(d + 1)$ -politopo arista-inscribible.
- P_0 una realización de P conteniendo el origen.
- B_P un empaquetamiento d -bolas polytopal.

Dualidad

- P un $(d + 1)$ -politopo arista-inscribible.
- P_0 una realización de P conteniendo el origen.
- B_P un empaquetamiento d -bolas polytopal.
- Existe una transformación de Möbius μ tal que $\mu(B_P) = B(P_0)$.

- P un $(d + 1)$ -politopo arista-inscribible.
- P_0 una realización de P conteniendo el origen.
- B_P un empaquetamiento d -bolas polytopal.
- Existe una transformación de Möbius μ tal que $\mu(B_P) = B(P_0)$.
- El *dual* de B_P es el arreglo de bolas $B_P^* := \mu^{-1}(B(P^*))$.

- P un $(d + 1)$ -politopo arista-inscribible.
- P_0 una realización de P conteniendo el origen.
- B_P un empaquetamiento d -bolas polytopal.
- Existe una transformación de Möbius μ tal que $\mu(B_P) = B(P_0)$.
- El *dual* de B_P es el arreglo de bolas $B_P^* := \mu^{-1}(B(P^*))$.
- Como P_0 es arista-inscribible P_0^* es *ridge-scribed* ($(d - 1)$ -cara inscribible).

- P un $(d + 1)$ -politopo arista-inscribible.
- P_0 una realización de P conteniendo el origen.
- B_P un empaquetamiento d -bolas polytopal.
- Existe una transformación de Möbius μ tal que $\mu(B_P) = B(P_0)$.
- El *dual* de B_P es el arreglo de bolas $B_P^* := \mu^{-1}(B(P_0^*))$.
- Como P_0 es arista-inscribible P_0^* es *ridge-scribed* ($(d - 1)$ -cara inscribible).
- $d = 2$, P_0^* es también arista-inscribible y entonces B_P and B_P^* son ambos empaquetamientos de discos.

- P un $(d + 1)$ -politopo arista-inscribible.
- P_0 una realización de P conteniendo el origen.
- B_P un empaquetamiento d -bolas polytopal.
- Existe una transformación de Möbius μ tal que $\mu(B_P) = B(P_0)$.
- El *dual* de B_P es el arreglo de bolas $B_P^* := \mu^{-1}(B(P_0^*))$.
- Como P_0 es arista-inscribible P_0^* es *ridge-scribed* ($(d - 1)$ -cara inscribible).
- $d = 2$, P_0^* es también arista-inscribible y entonces B_P and B_P^* son ambos empaquetamientos de discos.
- La union de $B_P \cup B_P^*$ es llamado *representación primal-dual* de P .

Ejemplo de dualidad

Teorema (Brightwell, Scheinerman) Siempre existe una única representación (bajo una posible transformación de Möbius) primal-dual para todo poliedro.

Ejemplo de dualidad

Teorema (Brightwell, Scheinerman) Siempre existe una única representación (bajo una posible transformación de Möbius) primal-dual para todo poliedro.

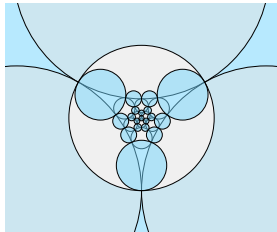
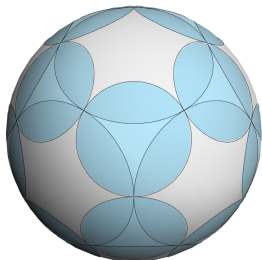
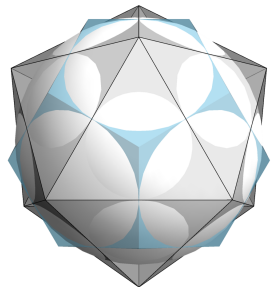
- Considerado como una version mas fuerte del conocido **teorema de empaquetamientos de circulos** de Koebe-Andreev-Thurston.

Ejemplo de dualidad

Teorema (Brightwell, Scheinerman) Siempre existe una única representación (bajo una posible transformación de Möbius) primal-dual para todo poliedro.

- Considerado como una version mas fuerte del conocido **teorema de empaquetamientos de círculos de Koebe-Andreev-Thurston**.

Un icosaedro arista-inscribible y su polar en azul.



Möbius unicidad

Dos empaquetamientos de d -bolas B y B' son *Möbius equivalentes* si uno puede enviar uno al otro con una transformación de Möbius.

Möbius unicidad

Dos empaquetamientos de d -bolas B y B' son *Möbius equivalentes* si uno puede enviar uno al otro con una transformación de Möbius.

Un $(d + 1)$ -politopo arista-inscribible es *Möbius único* si las proyecciones de arreglo de bolas de todas sus realizaciones arista-inscribible son Möbius equivalentes.

Möbius unicidad

Dos empaquetamientos de d -bolas B y B' son *Möbius equivalentes* si uno puede enviar uno al otro con una transformación de Möbius.

Un $(d + 1)$ -politopo arista-inscribible es *Möbius único* si las proyecciones de arreglo de bolas de todas sus realizaciones arista-inscribible son Möbius equivalentes.

Teorema (Rasskin + R.A. 2021)

- a) El único polígono Möbius único es el triángulo.
- b) El $(d + 1)$ -simplex es Möbius único, para todo $d \geq 1$.
- c) El $(d + 1)$ -cubo es Möbius único, para todo $d \geq 2$.

Dos empaquetamientos de d -bolas B y B' son *Möbius equivalentes* si uno puede enviar uno al otro con una transformación de Möbius.

Un $(d + 1)$ -politopo arista-inscribible es *Möbius único* si las proyecciones de arreglo de bolas de todas sus realizaciones arista-inscribible son Möbius equivalentes.

Teorema (Rasskin + R.A. 2021)

- a) El único polígono Möbius único es el triángulo.
- b) El $(d + 1)$ -simplex es Möbius único, para todo $d \geq 1$.
- c) El $(d + 1)$ -cubo es Möbius único, para todo $d \geq 2$.

Prueba (idea) : B Möbius equivalente B' sss $\text{Gram}(B) = \text{Gram}(B')$
dónde

$$\text{Gram}(B) = \begin{pmatrix} \langle v_1, v_1 \rangle & \cdots & \langle v_1, v_n \rangle \\ \vdots & \ddots & \vdots \\ \langle v_n, v_1 \rangle & \cdots & \langle v_n, v_n \rangle \end{pmatrix}$$

$$B = \{v_1, \dots, v_n\} \subset \mathbb{R}^{d+1,1}$$

Sea B_P un empaquetamiento d -bolas polytopal.

El grupo *Simétrico* : $Sym(B_P) := \langle \mu \in \text{Möb}(\hat{\mathbb{R}}) \mid \mu(B_P) = B_P \rangle$

Sea B_P un empaquetamiento d -bolas polytopal.

El grupo *Simétrico* : $Sym(B_P) := \langle \mu \in \text{Möb}(\hat{\mathbb{R}}) \mid \mu(B_P) = B_P \rangle$

El grupo *Apoloniano* : $A(B_P) := \langle S(B_P^*) \rangle$ dónde $S(B_P^*)$ es el conjunto de inversiones de las d -bolas de B_P^*

Sea B_P un empaquetamiento d -bolas polytopal.

El grupo *Simétrico* : $Sym(B_P) := \langle \mu \in \text{Möb}(\hat{\mathbb{R}}) \mid \mu(B_P) = B_P \rangle$

El grupo *Apoloniano* : $A(B_P) := \langle S(B_P^*) \rangle$ dónde $S(B_P^*)$ es el conjunto de inversiones de las d -bolas de B_P^*

El grupo *Super Simétrico Apoloniano* :

$SSA(B_P) := \langle Sym(B_P) \cup A(B_P) \cup A(B_P^*) \rangle$

Sea B_P un empaquetamiento d -bolas polytopal.

El grupo *Simétrico* : $Sym(B_P) := \langle \mu \in \text{Möb}(\hat{\mathbb{R}}) \mid \mu(B_P) = B_P \rangle$

El grupo *Apoloniano* : $A(B_P) := \langle S(B_P^*) \rangle$ dónde $S(B_P^*)$ es el conjunto de inversiones de las d -bolas de B_P^*

El grupo *Super Simétrico Apoloniano* :

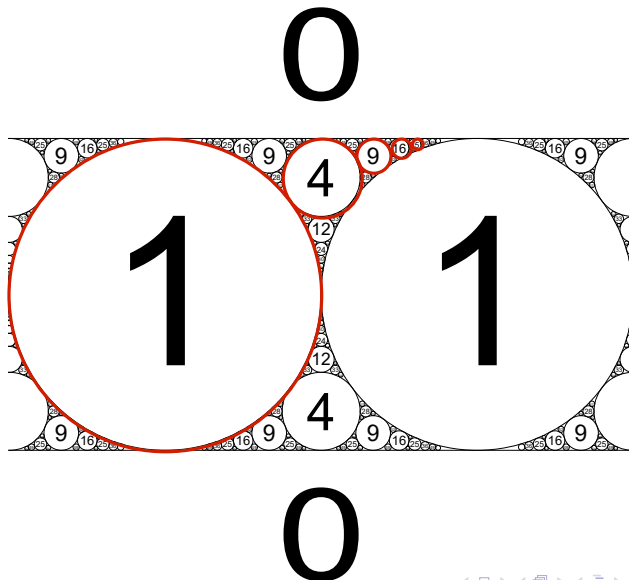
$SSA(B_P) := \langle Sym(B_P) \cup A(B_P) \cup A(B_P^*) \rangle$

Teorema (Rasskin + R.A. 2021)

Existen empaquetamientos del tetraedrales, cúbicos y dodecaedrales de Apolonio donde el conjunto de curvaturas contienen todos los cuadrados perfectos.

Ejemplo de empaquetamiento

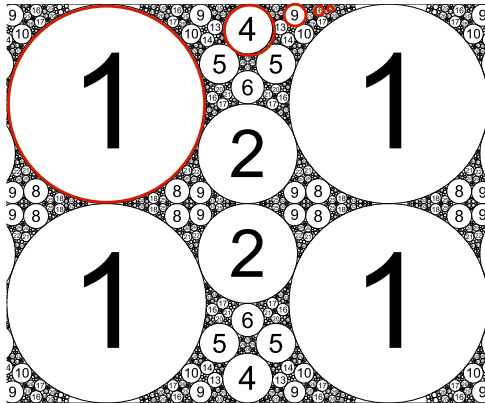
Tetraedral



Ejemplo de empaquetamiento

Cúbico

0

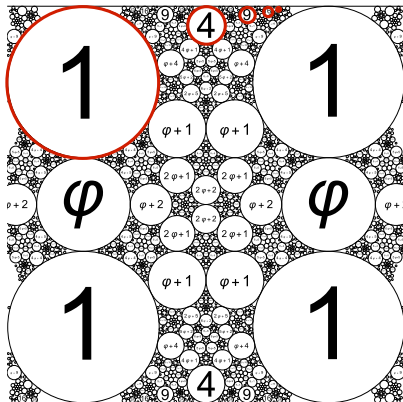


0

Ejemplo de empaquetamiento

Dodecaedral (φ es el número áureo $\frac{1+\sqrt{5}}{2}$)

0



0

Curvaturas Lorentzianas de politopos

Para todo $\mathbf{x} \in \mathbb{L}^{d+1,1}$, definamos

$$\kappa(\mathbf{x}) = -\langle \mathbf{x}_N, \mathbf{x} \rangle$$

dónde $\mathbf{x}_N = (e_{d+1} + e_{d+2})$ con e_i vector canónico de $\mathbb{L}^{d+1,1}$.

Curvaturas Lorentzianas de politopos

Para todo $\mathbf{x} \in \mathbb{L}^{d+1,1}$, definamos

$$\kappa(\mathbf{x}) = -\langle \mathbf{x}_N, \mathbf{x} \rangle$$

dónde $\mathbf{x}_N = (e_{d+1} + e_{d+2})$ con e_i vector canónico de $\mathbb{L}^{d+1,1}$.

Notemos que si \mathbf{x} es space-like normalizado entonces

$$(\text{curvatura de } b) \quad \kappa(b) = -\langle \mathbf{x}_N, \mathbf{x}_b \rangle$$

Para todo $\mathbf{x} \in \mathbb{L}^{d+1,1}$, definamos

$$\kappa(\mathbf{x}) = -\langle \mathbf{x}_N, \mathbf{x} \rangle$$

dónde $\mathbf{x}_N = (e_{d+1} + e_{d+2})$ con e_i vector canónico de $\mathbb{L}^{d+1,1}$.

Notemos que si \mathbf{x} es space-like normalizado entonces

$$(\text{curvatura de } b) \quad \kappa(b) = -\langle \mathbf{x}_N, \mathbf{x}_b \rangle$$

Sea $P \subset E^{d+1}$ esfera-exterior. El *baricentro Lorentziano* de P es

$$\mathbf{x}_P := \frac{1}{|\mathcal{F}_0(P)|} \sum_{v \in \mathcal{F}_0(P)} \mathbf{x}_{b(v)}$$

dónde $b(v)$ es la región iluminada a partir de v .

La *curvatura Lorentziana* de P es definida como

$$\kappa_P := \kappa(\mathbf{x}_P)$$

La *curvatura Lorentziana* de P es definida como

$$\kappa_P := \kappa(\mathbf{x}_P)$$

Por linealidad tenemos que

$$\kappa_P := \frac{1}{|\mathcal{F}_0(P)|} \sum_{v \in \mathcal{F}_0(P)} \kappa(b(v))$$

Teorema (Rasskin + R.A. 2021) Sea $d \geq 1$. Tomemos una realización arista-inscribible de un $(d + 1)$ -politopo regular P con símbolos de Schläfli $\{p_1, \dots, p_d\}$. Las curvaturas Lorentzianas de una *bandera* $(f_0, f_1, \dots, f_d, f_{d+1} = P)$ satisface

$$\kappa_P^2 = L_P(d + 1) \sum_{i=0}^d \frac{(\kappa_{f_i} - \kappa_{f_{i+1}})^2}{L_P(i + 1) - L_P(i)}$$

con

$$L_P(i) := \begin{cases} -1 & i = 0 \\ 0 & i = 1 \\ \ell_{\{p_1, \dots, p_{i-1}\}}^{-2} & \text{if } 2 \leq i \leq d + 1 \end{cases}$$

dónde $\ell_{\{p_1, \dots, p_{i-1}\}}$ es la mitad de la longitud de una arista de la realización arista-inscribible de la cara regular f_i .

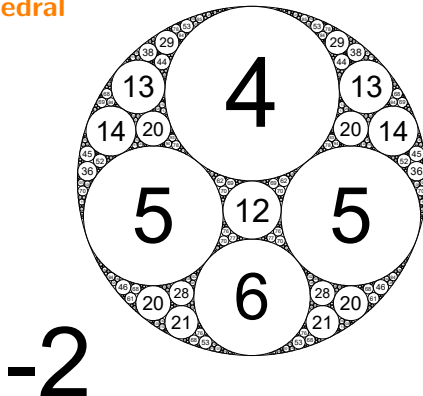
Integralidad empaquetamientos Octaedral

Proposición (Rasskin + R.A. 2021) Sean $\kappa_1, \kappa_2, \kappa_3$ las curvaturas de tres discos dos a dos tangentes de un empaquetamiento de discos politopal octaedral B_O . Si $\kappa_1, \kappa_2, \kappa_3$ y $\sqrt{2(\kappa_1\kappa_2 + \kappa_1\kappa_3 + \kappa_2\kappa_3)}$ son enteros entonces el empaquetamiento Apolonio generado a partir de B_O es integral.

Integralidad empaquetamientos Octaedral

Proposición (Rasskin + R.A. 2021) Sean $\kappa_1, \kappa_2, \kappa_3$ las curvaturas de tres discos dos a dos tangentes de un empaquetamiento de discos politopal octaedral B_O . Si $\kappa_1, \kappa_2, \kappa_3$ y $\sqrt{2(\kappa_1\kappa_2 + \kappa_1\kappa_3 + \kappa_2\kappa_3)}$ son enteros entonces el empaquetamiento Apolonio generado a partir de B_O es integral.

Octaedral



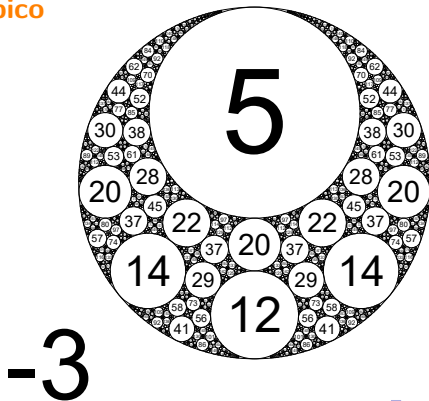
Integralidad empaquetamientos Cúbico

Proposición (Rasskin + R.A. 2021) Sean $\kappa_{i-1}, \kappa_i, \kappa_{i+1}$ las curvaturas de tres discos consecutivamente tangentes de un empaquetamiento de discos politopal cúbico B_C . Si $\kappa_{i-1}, \kappa_i, \kappa_{i+1}$ y $\sqrt{-\kappa_i^2 + \kappa_i \kappa_{i+1} + \kappa_i \kappa_{i-1} + \kappa_{i-1} \kappa_{i+1}}$ son enteros entonces el empaquetamiento Apolonio generado a partir de B_C es integral.

Integralidad empaquetamientos Cúbico

Proposición (Rasskin + R.A. 2021) Sean $\kappa_{i-1}, \kappa_i, \kappa_{i+1}$ las curvaturas de tres discos consecutivamente tangentes de un empaquetamiento de discos politopal cúbico B_C . Si $\kappa_{i-1}, \kappa_i, \kappa_{i+1}$ y $\sqrt{-\kappa_i^2 + \kappa_i \kappa_{i+1} + \kappa_i \kappa_{i-1} + \kappa_{i-1} \kappa_{i+1}}$ son enteros entonces el empaquetamiento Apolonio generado a partir de B_C es integral.

Cúbico



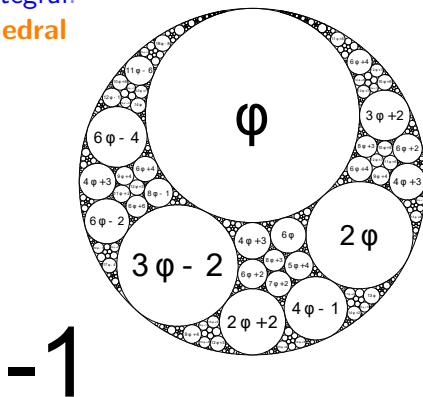
Integralidad empaquetamientos Icoedrales

Proposición (Rasskin + R.A. 2021) Sean $\kappa_1, \kappa_2, \kappa_3$ las curvaturas de tres discos dos a dos tangentes de un empaquetamiento de discos politopal icoedrales B_I . Si $\kappa_1, \kappa_2, \kappa_3$ y $\sqrt{\kappa_1\kappa_2 + \kappa_1\kappa_3 + \kappa_2\kappa_3}$ están en $\mathbb{Z}[\varphi]$ entonces el empaquetamiento Apolonio generado a partir de B_I es φ -integral.

Integralidad empaquetamientos Icoedrales

Proposición (Rasskin + R.A. 2021) Sean $\kappa_1, \kappa_2, \kappa_3$ las curvaturas de tres discos dos a dos tangentes de un empaquetamiento de discos politopal icoedrales B_I . Si $\kappa_1, \kappa_2, \kappa_3$ y $\sqrt{\kappa_1\kappa_2 + \kappa_1\kappa_3 + \kappa_2\kappa_3}$ están en $\mathbb{Z}[\varphi]$ entonces el empaquetamiento Apolonio generado a partir de B_I es φ -integral.

Icoedrales



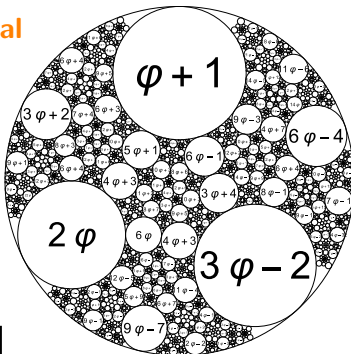
-1

Proposición (Rasskin + R.A. 2021) Sean $\kappa_{i-1}, \kappa_i, \kappa_{i+1}$ las curvaturas de tres discos consecutivamente tangentes de un empaquetamiento de discos politopal dodecaedral B_D . Si $\kappa_{i-1}, \kappa_i, \kappa_{i+1}$ y $\sqrt{-\varphi^2 \kappa_i^2 + \kappa_i \kappa_{i+1} + \kappa_i \kappa_{i-1} + \kappa_{i-1} \kappa_{i+1}}$ están en $\mathbb{Z}[\varphi]$ entonces el empaquetamiento Apolonio generado a partir de B_D es φ -integral.

Integralidad empaquetamientos Dodecaedral

Proposición (Rasskin + R.A. 2021) Sean $\kappa_{i-1}, \kappa_i, \kappa_{i+1}$ las curvaturas de tres discos consecutivamente tangentes de un empaquetamiento de discos politopal dodecaedral B_D . Si $\kappa_{i-1}, \kappa_i, \kappa_{i+1}$ y $\sqrt{-\varphi^2 \kappa_i^2 + \kappa_i \kappa_{i+1} + \kappa_i \kappa_{i-1} + \kappa_{i-1} \kappa_{i+1}}$ están en $\mathbb{Z}[\varphi]$ entonces el empaquetamiento Apolonio generado a partir de B_D es φ -integral.

Dodecaedral



-1

Gracias por su atención !!